



IRM bas champ

M. Pannetier-Lecoeur

Service de Physique de l'Etat Condensé

CEA-Saclay

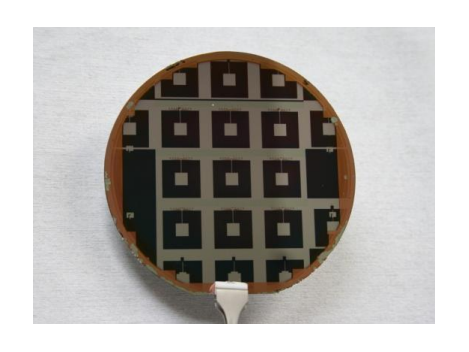


Plan



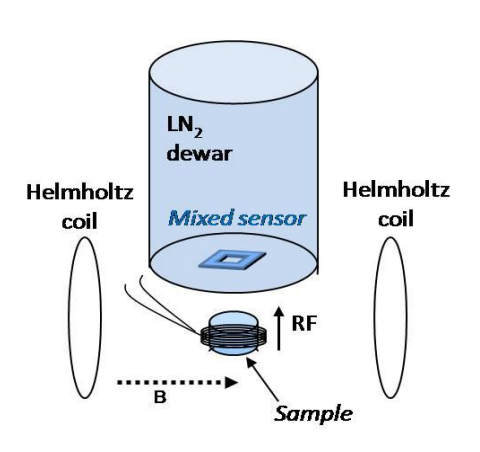
• L'IRM à bas champ

Les capteurs pour l'IRM bas champ



Les contrastes

Perspectives

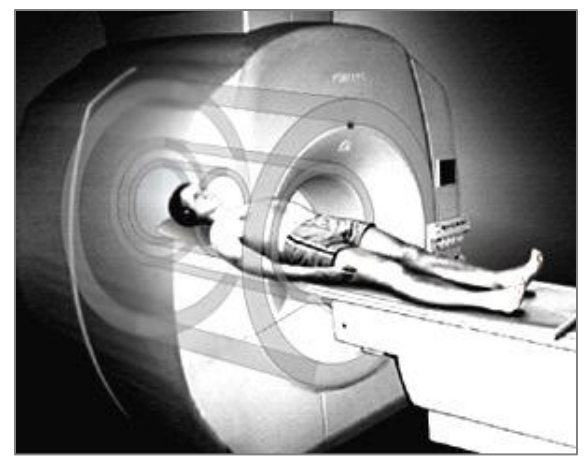


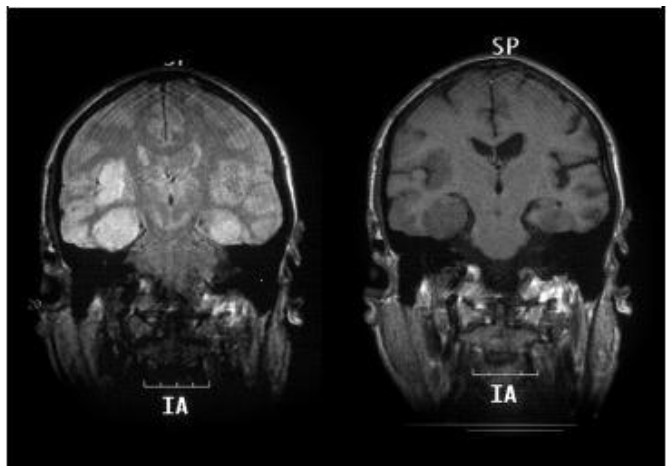


IRM haut champ



- Technique d'imagerie basée sur la résonance magnétique nucléaire des protons
- Environ 30000 systèmes commerciaux
- Standards à 1.5T, développement à 3T et plus
- Systèmes assez volumineux et relativement fermés, d'un coût assez élevé (1.5M€)







L'IRM bas champ: un intérêt médical



Systèmes moins couteux, plus transportables

- Champs faibles => bobines non supraconductrices
- Pas de problème d'approvisionnement en hélium

Moins d'artéfacts à bas champ et basse fréquence

Le corps humain est conducteur

 \Longrightarrow

Déformations d'image aux champs intenses

Pièces métalliques (implants)



Déformation du champ local

Contraintes moins importantes pour les patients

- Géométrie ouverte (claustrophobie)
- Gradients faibles : pas de nuisance sonore (IRM du nourrisson)
- Pacemaker : sécurité impose B < 5mT
- Prothèses métalliques compatibles avec faibles fréquences

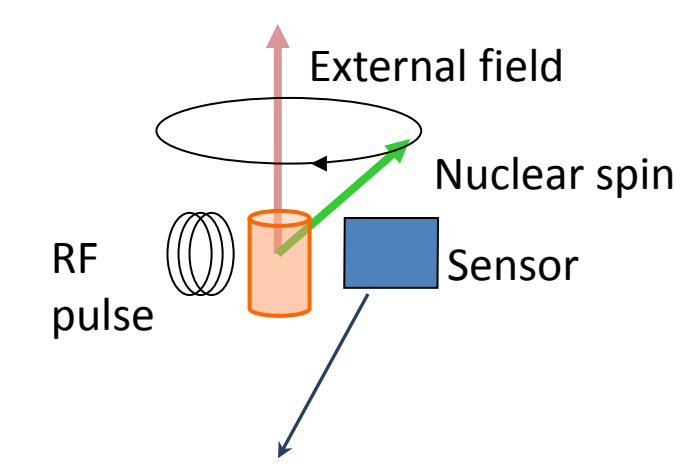


L'IRM bas champ: les contraintes



- Signaux plus petits (proportionnels à la fréquence)
- Sensibilité des bobines décroissante avec la fréquence

$$M = M_0 \cos \omega_0 t = \frac{N \gamma \hbar^2}{4kT} \omega_0 \cos \omega_0 t$$



Resonant coil: $\omega_0 = \gamma B_0$

$$signal \propto \frac{d\phi}{dt} = \frac{d}{dt} MxS = \left[\frac{N\gamma\hbar^2}{4kT} S \right] \omega_0^2 \sin \omega_0 t \propto \omega_0^2$$

→ Nécessité d'utiliser d'autres capteurs, de sensibilité indépendante de la fréquence.

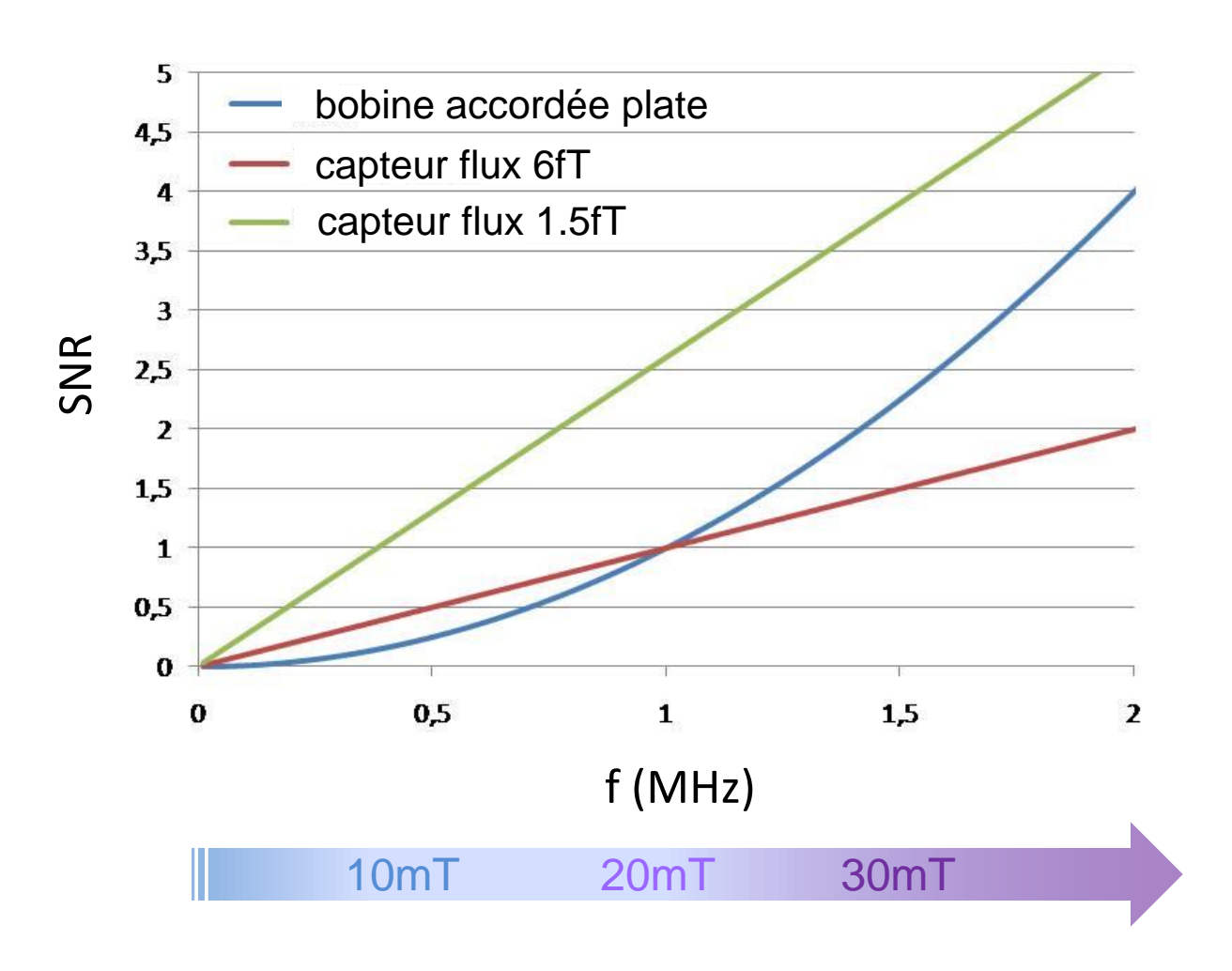
$$signal \propto \phi = MxS = \left[\frac{N\gamma\hbar^2}{4kT}S\right]\omega_0\cos\omega_0t \propto \omega_0$$



Sensibilité des détecteurs



RMN classique = détection de la résonance par bobine accordée





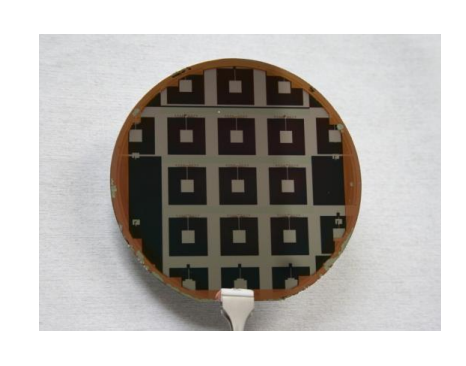
Plan

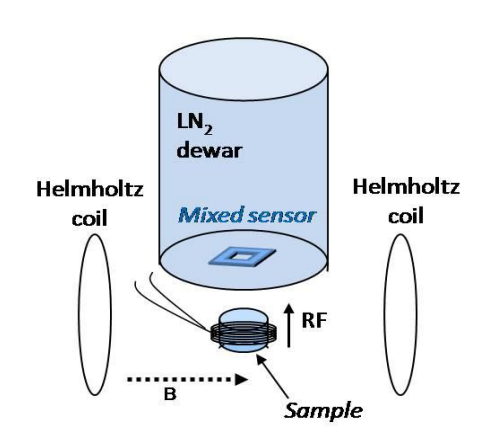


L'IRM à bas champ

- Les capteurs pour l'IRM bas champ
 - Caractéristiques requises
 - SQUIDs
 - Capteurs mixtes
- Les contrastes

Perspectives







Capteurs pour l'IRM bas champ



- Sensibilité = femtotesla
- Sensibilité à basse fréquence (<MHz)
- Réponse indépendante de la fréquence

• Candidats:



- SQUIDS
- Capteurs mixtes
- Magnétomètres atomiques



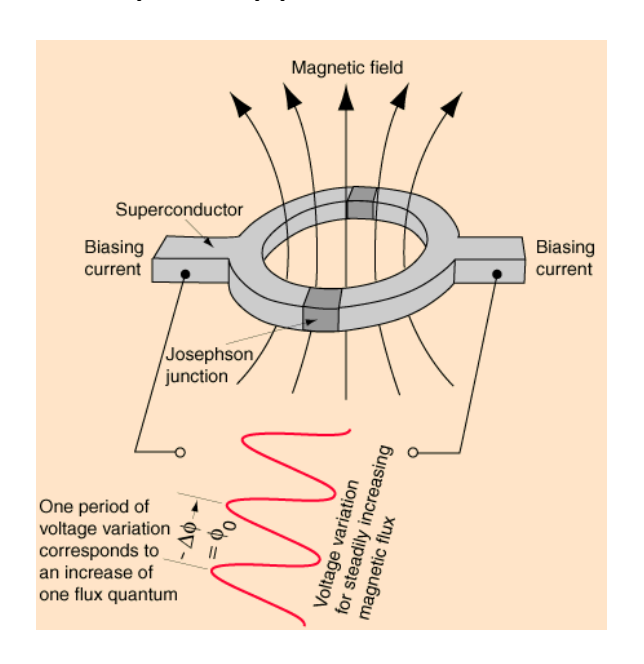
SQUIDs:

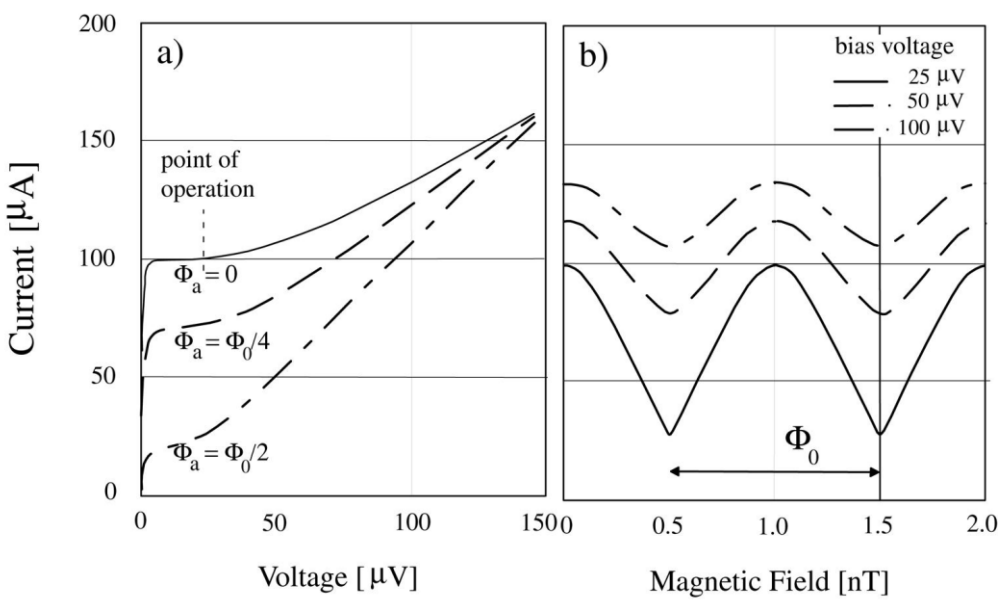




SQUIDS=dispositifs supraconducteurs basés sur l'effet Josephson (1962)

Un champ magnétique appliqué à la boucle crée un déphasage entre les deux bras, qui se traduit par l'apparition d'une tension aux bornes du SQUID.





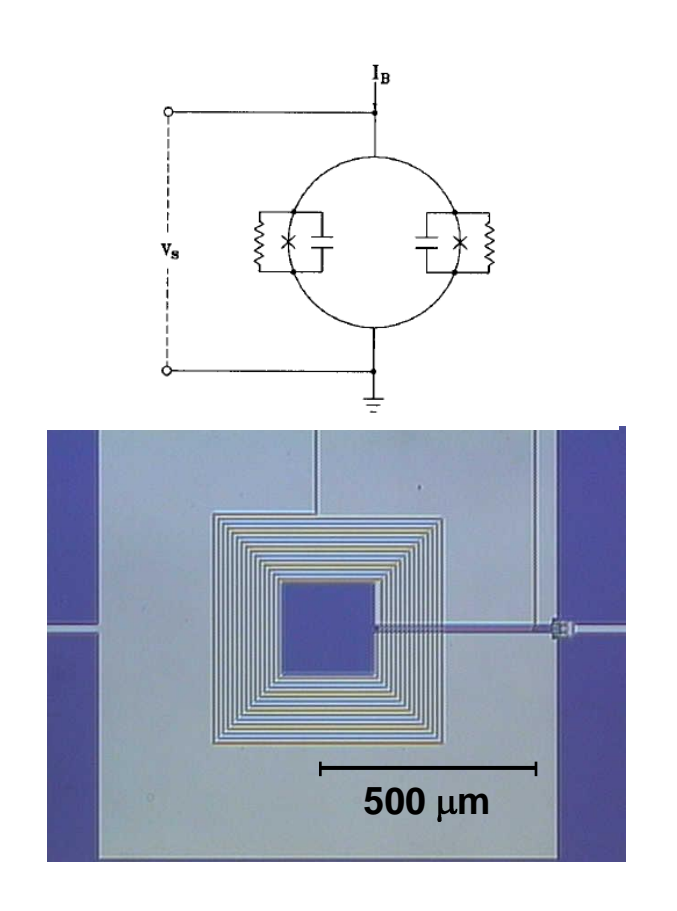
Lounasmaa & Seppä

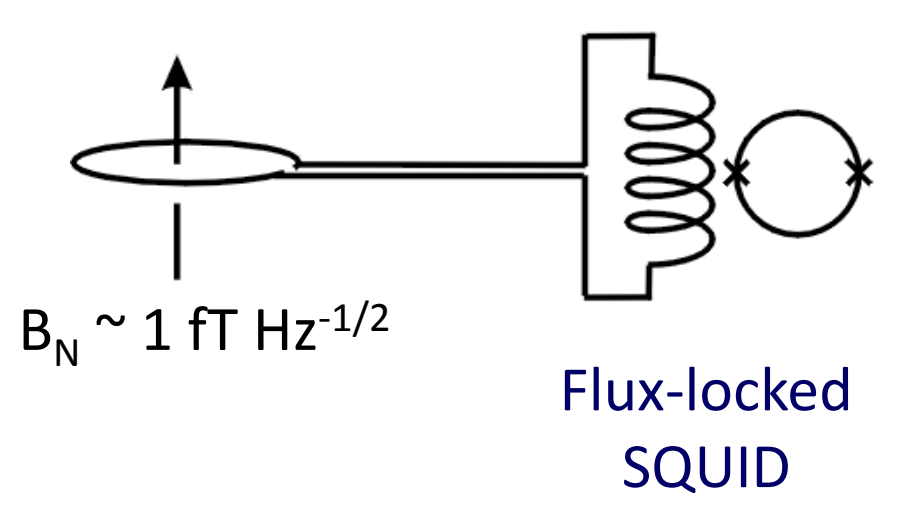
La sensibilité est proportionnelle à la surface de la boucle : pour 4cm², elle est d'environ 1fT/VHz.



SQUIDS







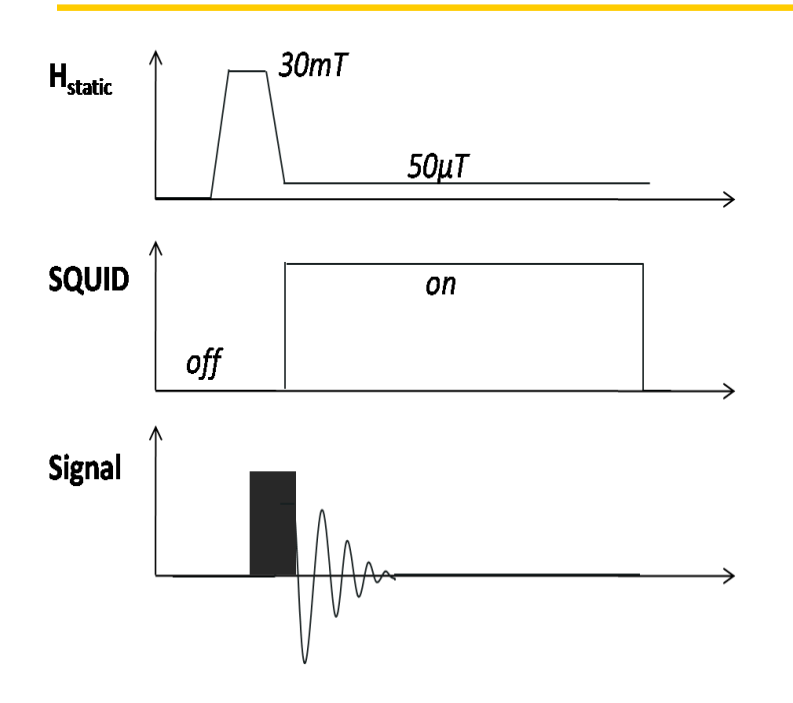
$$M \propto \frac{N\gamma^2\hbar^2}{4kT}B_0$$
$$V \propto M \propto B_0$$

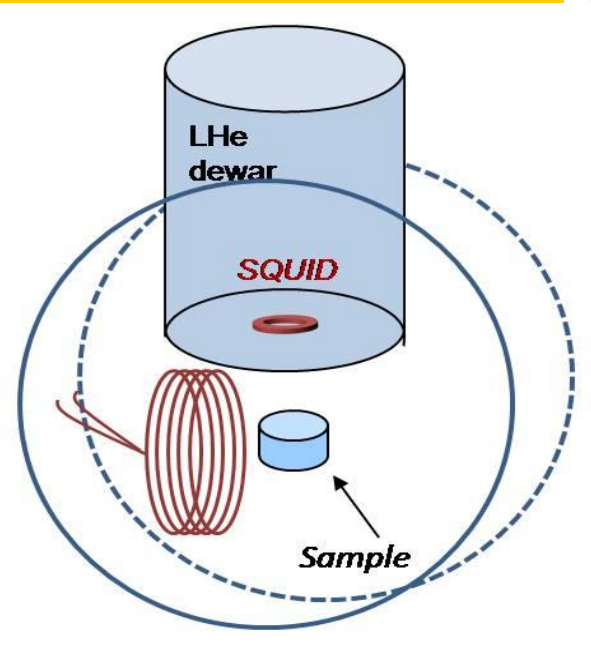
=> Capteur de flux de très grande sensibilité et de réponse plate en fréquence



Utilisation des SQUIDs en IRM (très) bas champ







- Champ de prépolarisation (quelques mT 30mT)
- Mesure en champ faible ou très faible ($50\mu T^* 100nT^{**}$)
- Pas de pulse RF pour un FID simple (Bmes perp. À Bprepol)

^{*}Berkeley, LANL

^{**}PTB



Utilisation des SQUIDs en IRM (très) bas champ



-Avantages:

- Signal assez grand
- Pas d'homogénéité de champ requise pour la prépolarisation

-Inconvénients:

- Nécessité de travailler en environnement blindé
- Perte d'une petite partie du signal pendant la baisse du champ de polarisation (blanking du SQUID)
- Séquences sophistiquées de RMN non applicables



Largeur de raie à très bas champ



$$1/\pi$$
 T₂ *= $\Delta f' = (\gamma/2\pi) \Delta B = (\gamma/2\pi)(\Delta B/B)B \propto B$
pour une inhomogénéité relative donnée $\Delta B/B$

• Haut champ (~20T):

1Hz de largeur => 1 pour 10⁹ d'homogénéité (shimming nécessaire).

A bas champ (~ 50 μT)

1Hz de largeur => 1 pour 2000 d'homogénéité



RMN très bas champ avec des SQUIDs



~ 1kHz

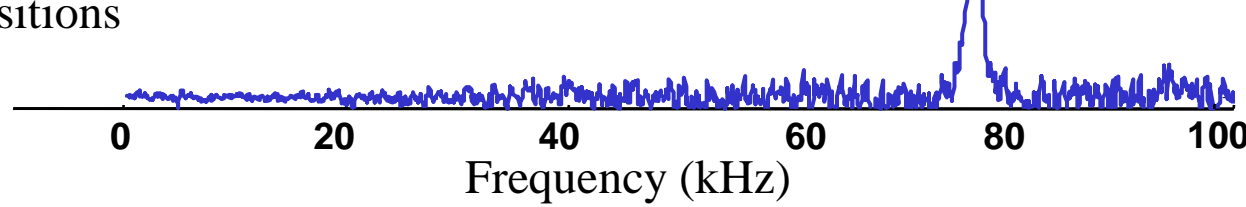
R. Mc Dermott et al. Science 295, 2247 (2002)



5 ml huile minérale

$$B_0 = 1.8 \text{ mT}$$

10,000 acquisitions



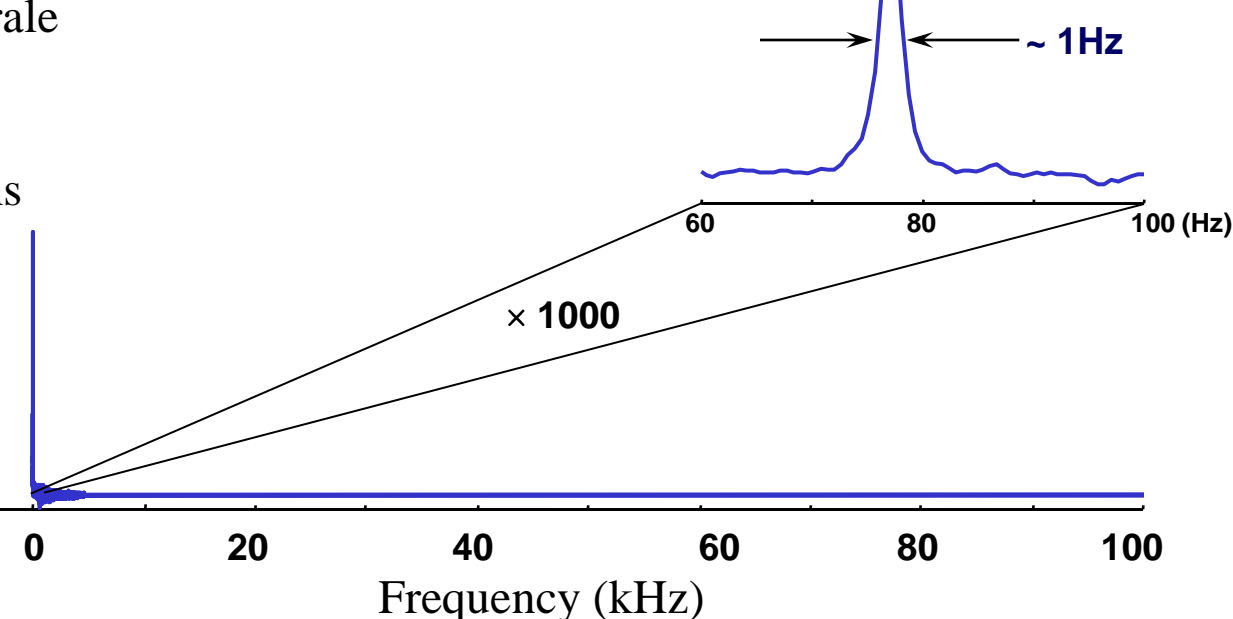


5 ml huile minérale

$$B_{p} = 1.8 \text{ mT}$$

$$B_0 = 1.8 \ \mu T$$

100 acquisitions

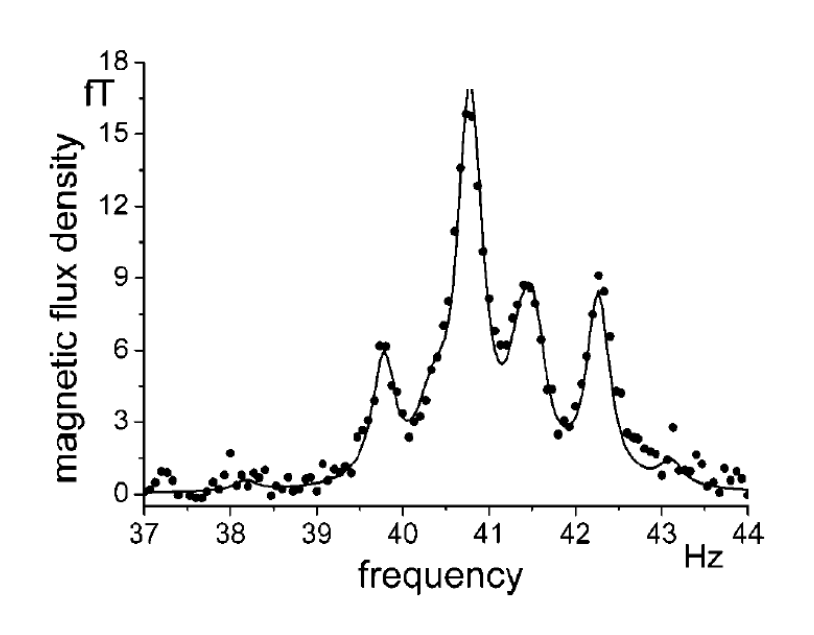




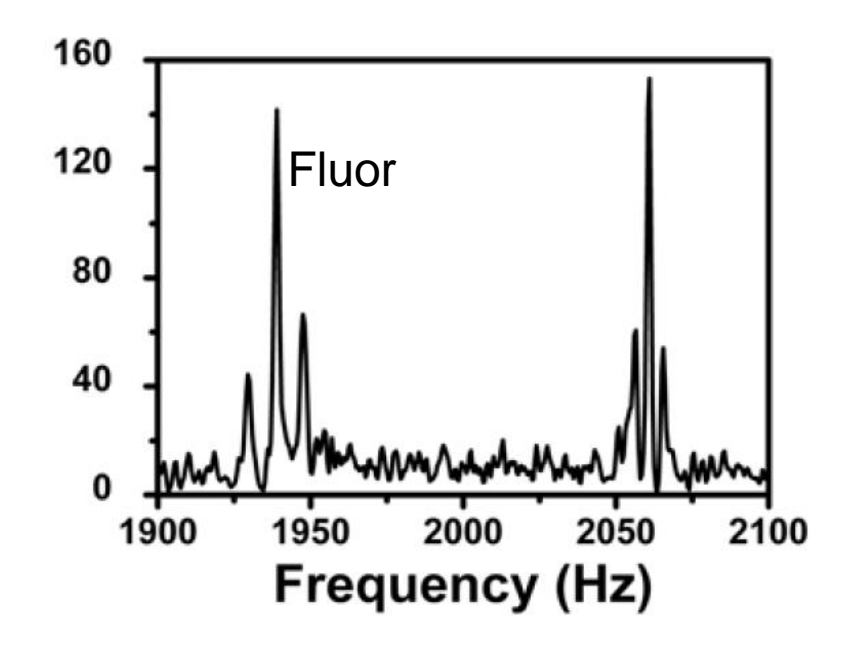
RMN dans le microtesla avec des SQUIDs



2,2,2-trifluoroethanol phosphate



PTB Shielded room
Bernarding *et al. JACS* (2006)



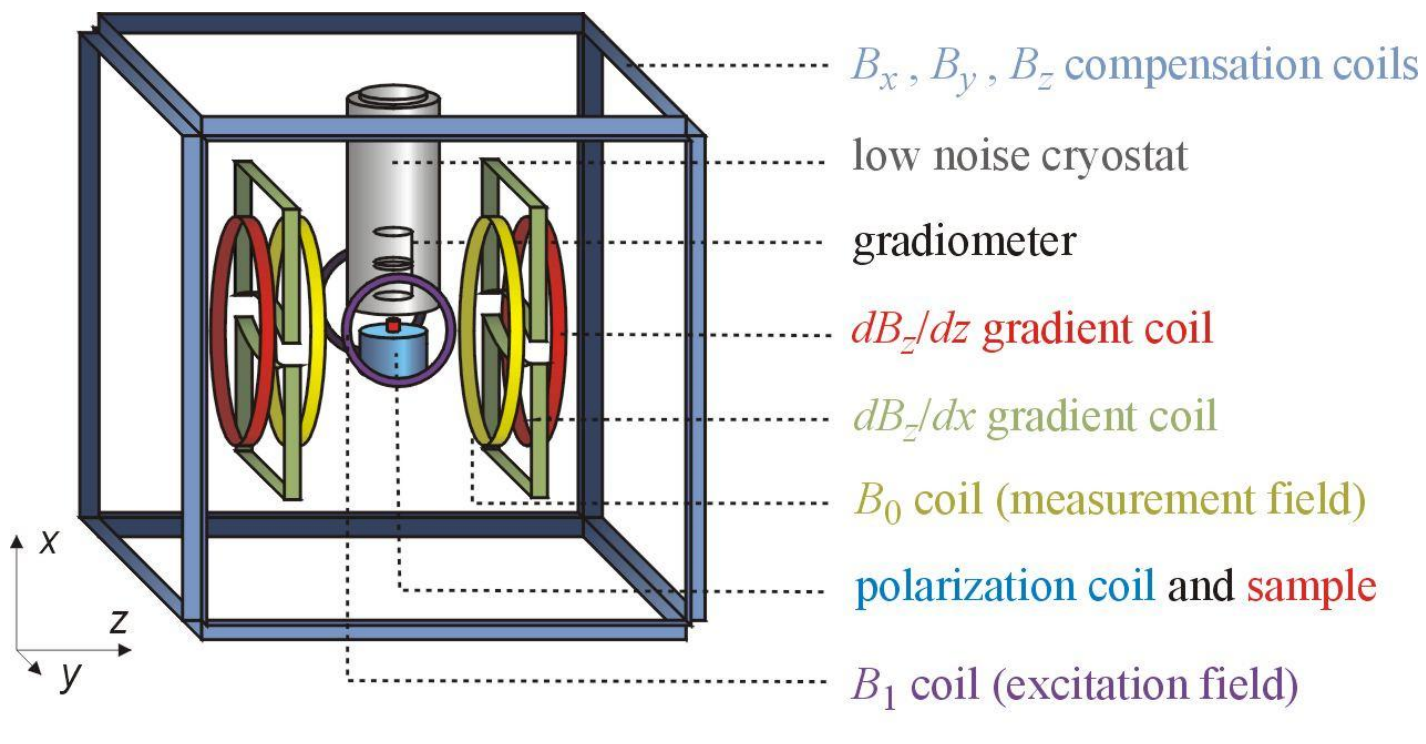
SQUID haut- T_c @48.4 μ T Qiu *et al. proc. EUCAS* (2008)

=> Haute résolution dans des microteslas



IRM à très bas champ : système de Berkeley



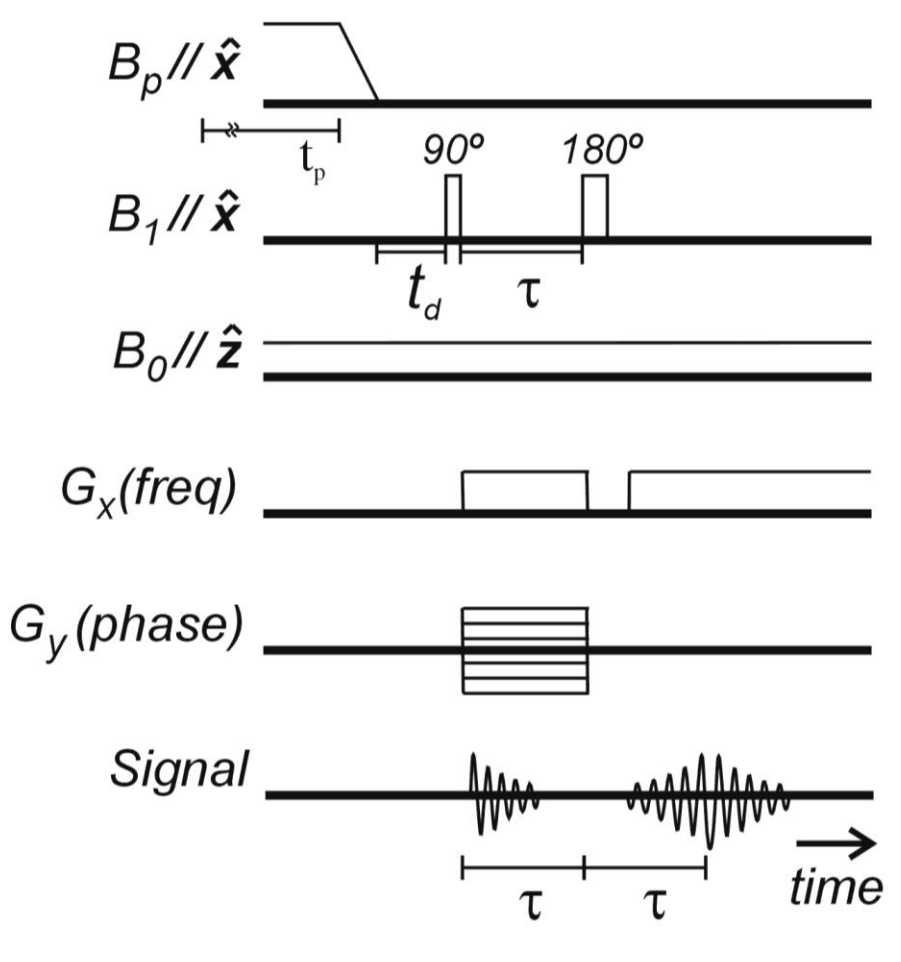






Séquence pulsée pour de l'imagerie 2D





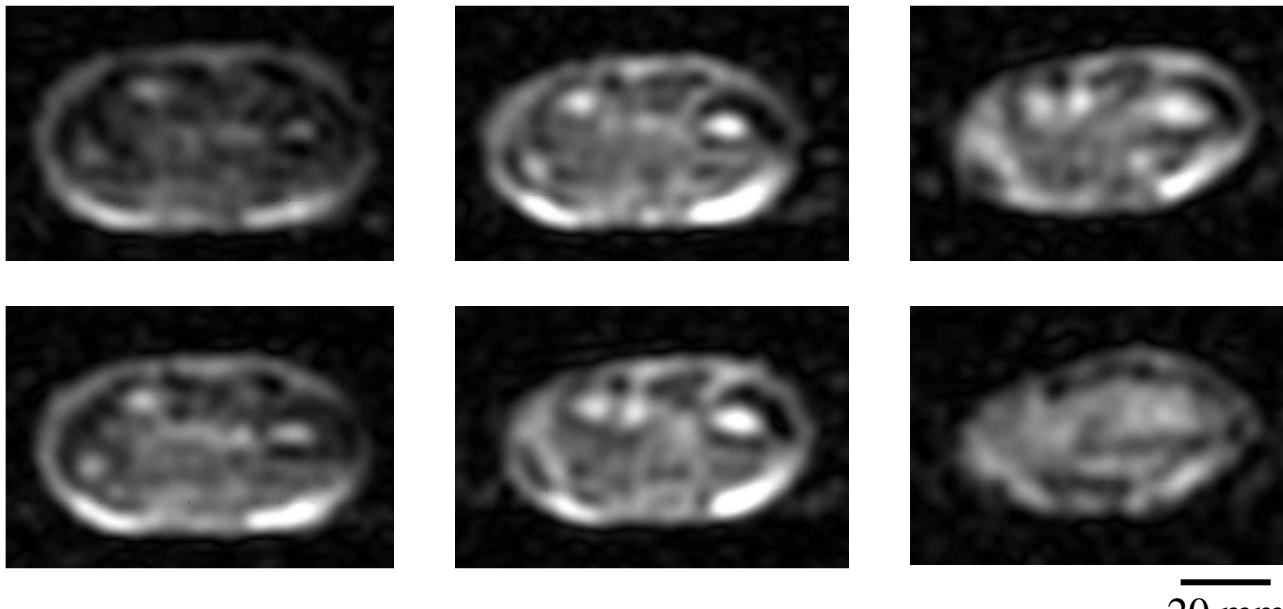
$$B_p = 50 - 300 \text{ mT, } t_p = 0.1 - 2s$$

 $B_0 = 132 \mu\text{T}$



Image in-vivo d'un bras (Berkeley-J. Clarke)





20 mm

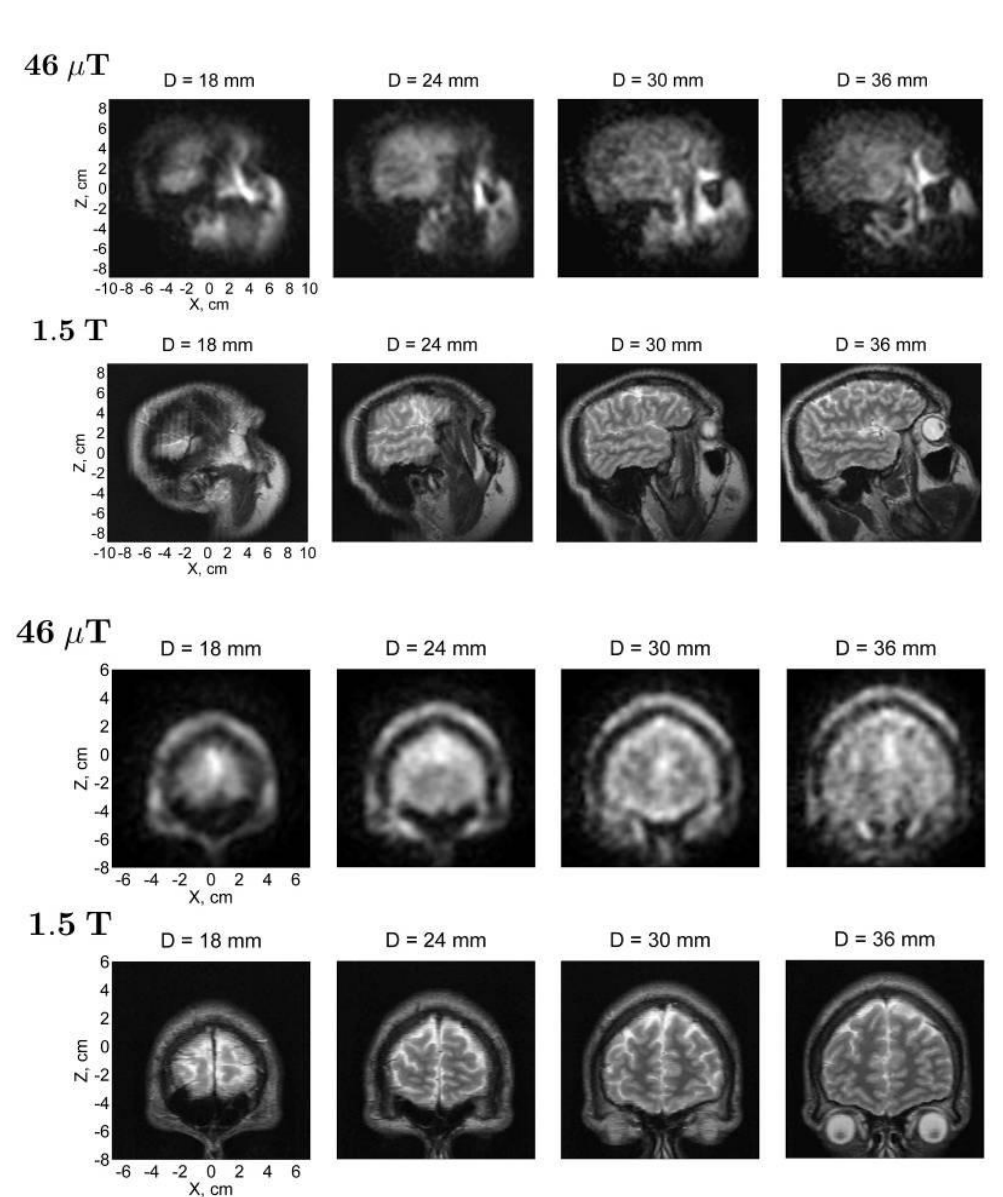
- $B_0 = 132 \mu T$
- $B_p = 40 \text{ mT}$
- Gradients: 150 μT/m
- Temps acquisition : 6 min
- Epaisseur de la tranche : 10 mm
- Résolution dans le plan ~ 2mm



Imagerie cérébrale à 46μT (Los Alamos National Lab – M. Espy, R. Kraus)



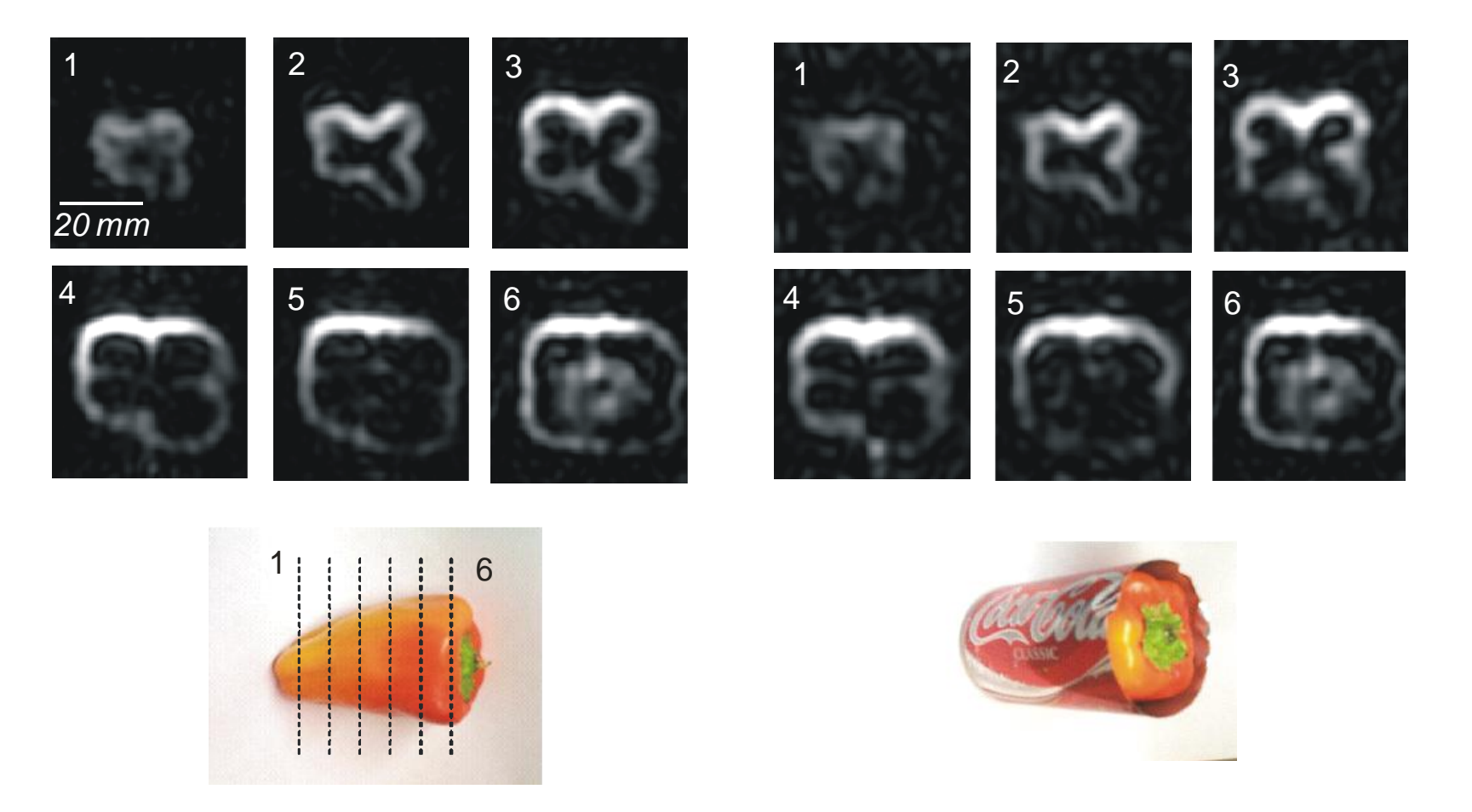
- Système 7 canaux
- $B_p = 30 \text{ mT}$
- $B_0 = 46 \mu T$
- Temps d'acquisition : 90 min par orientation
- Epaisseur de tranche 6 mm
- Résolution 3 mm imes 3 mm





Imagerie dans un contenant métallique (Berkeley)







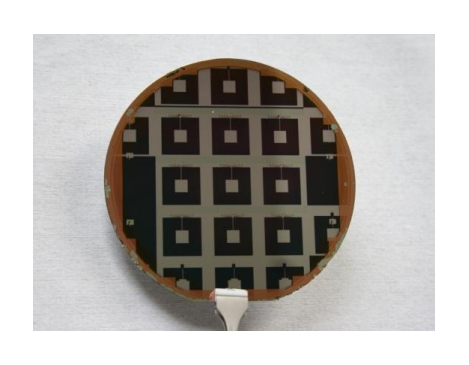
Plan

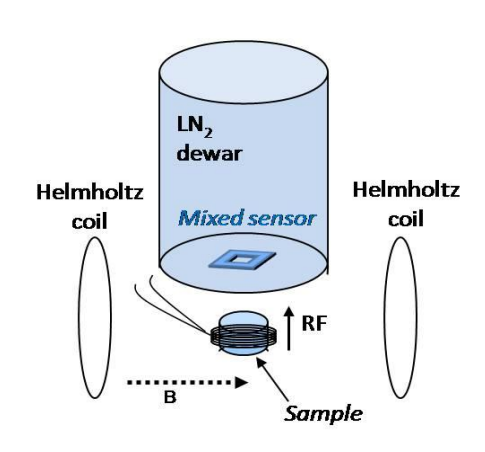


• L'IRM à bas champ

- Les capteurs pour l'IRM bas champ
 - Caractéristiques requises
 - SQUIDs
 - Capteurs mixtes
- Les contrastes

Perspectives



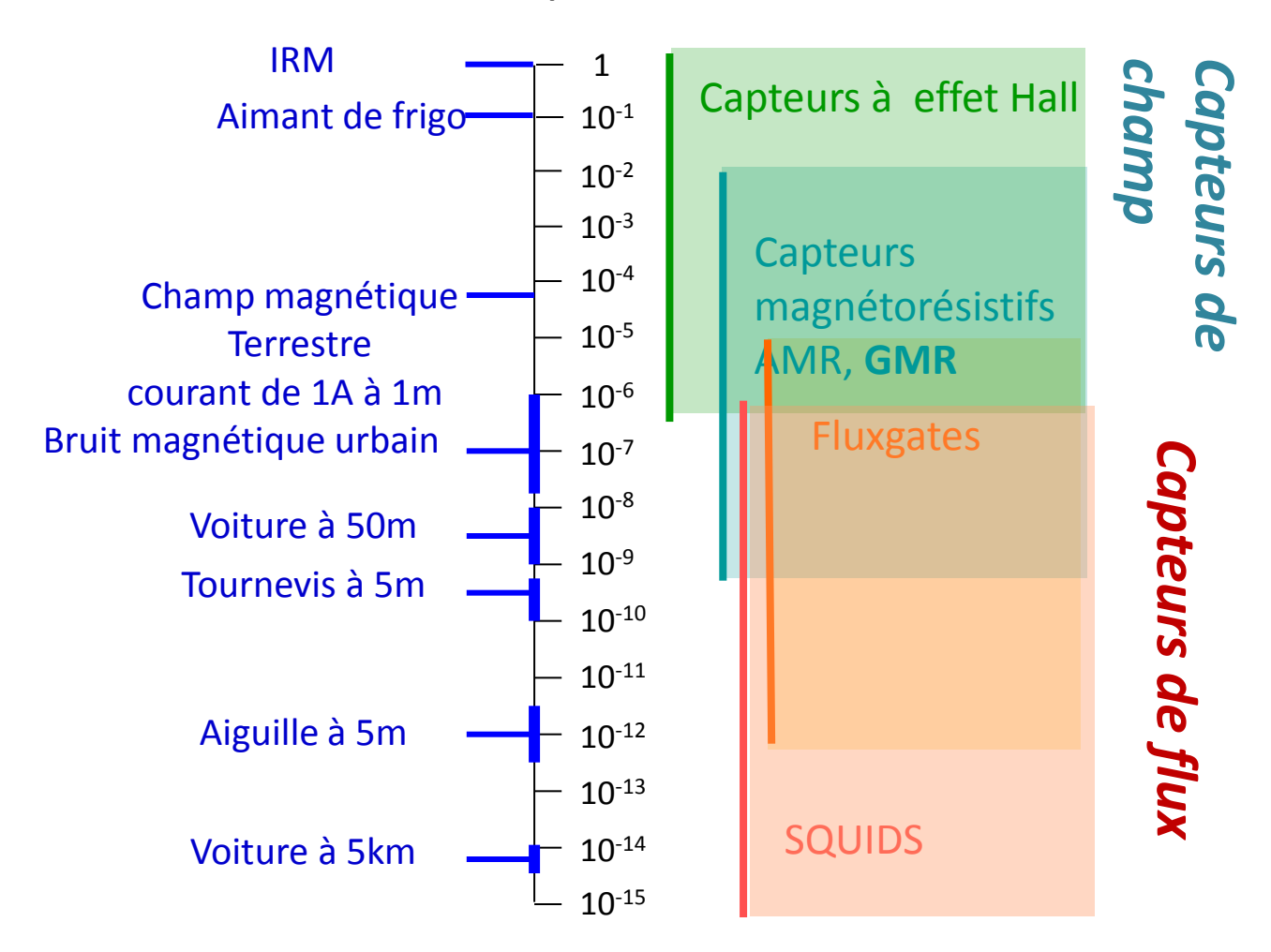




Capteurs mixtes



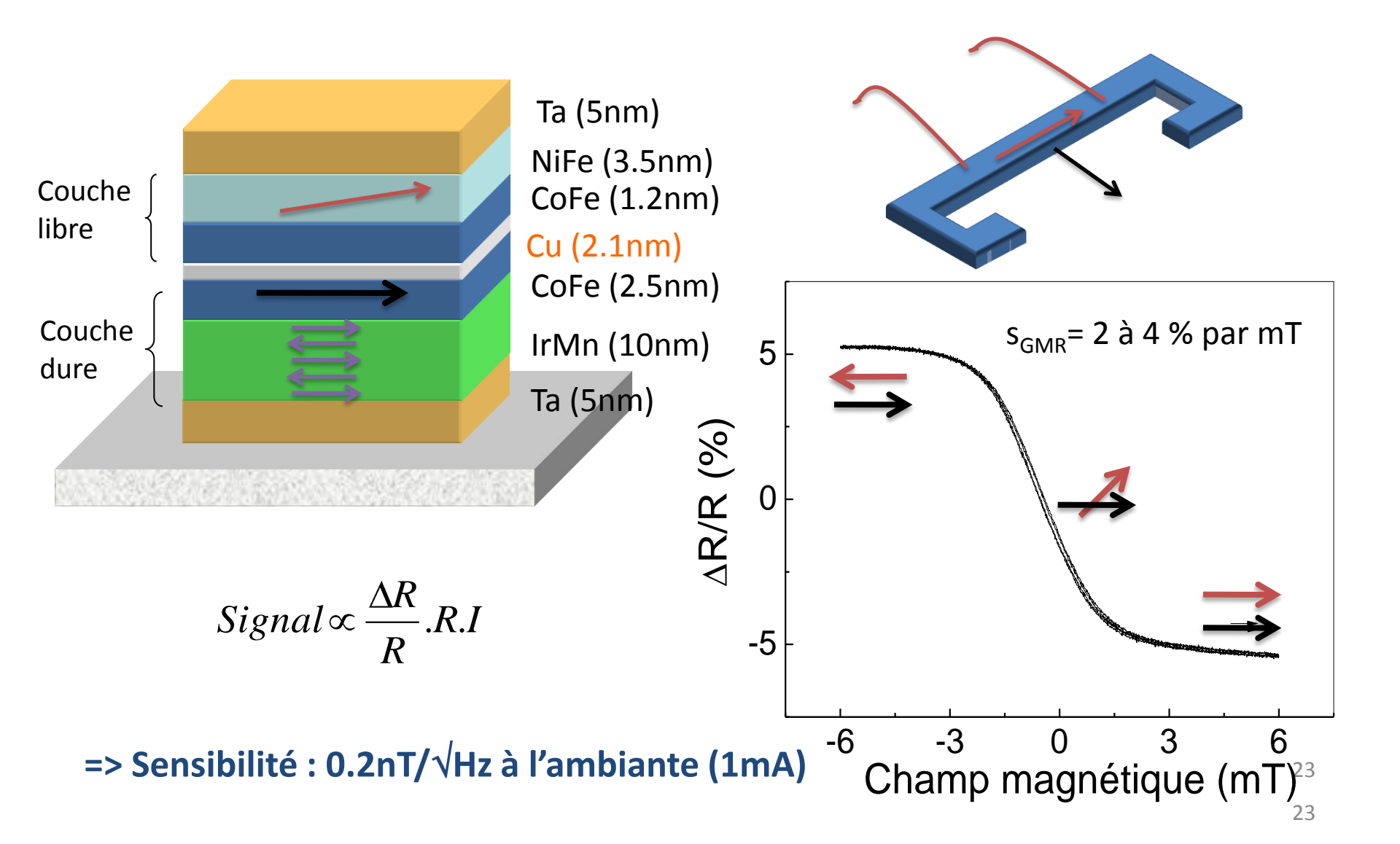
Champ (T)





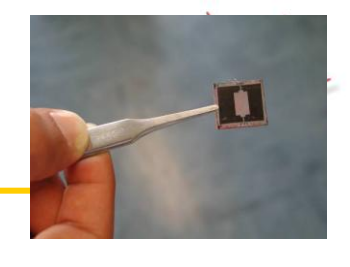
L'électronique de spin pour la magnétométrie

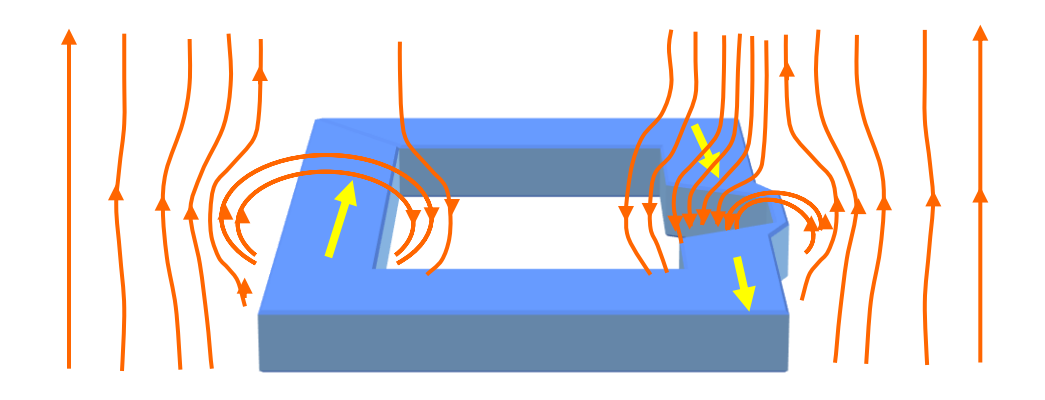




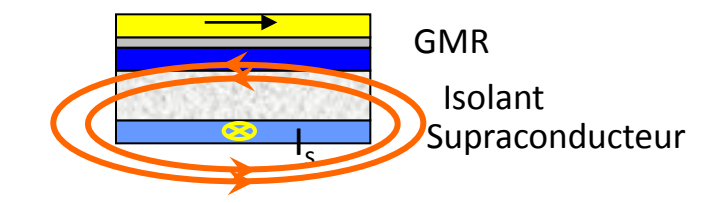


Capteurs mixtes: principe

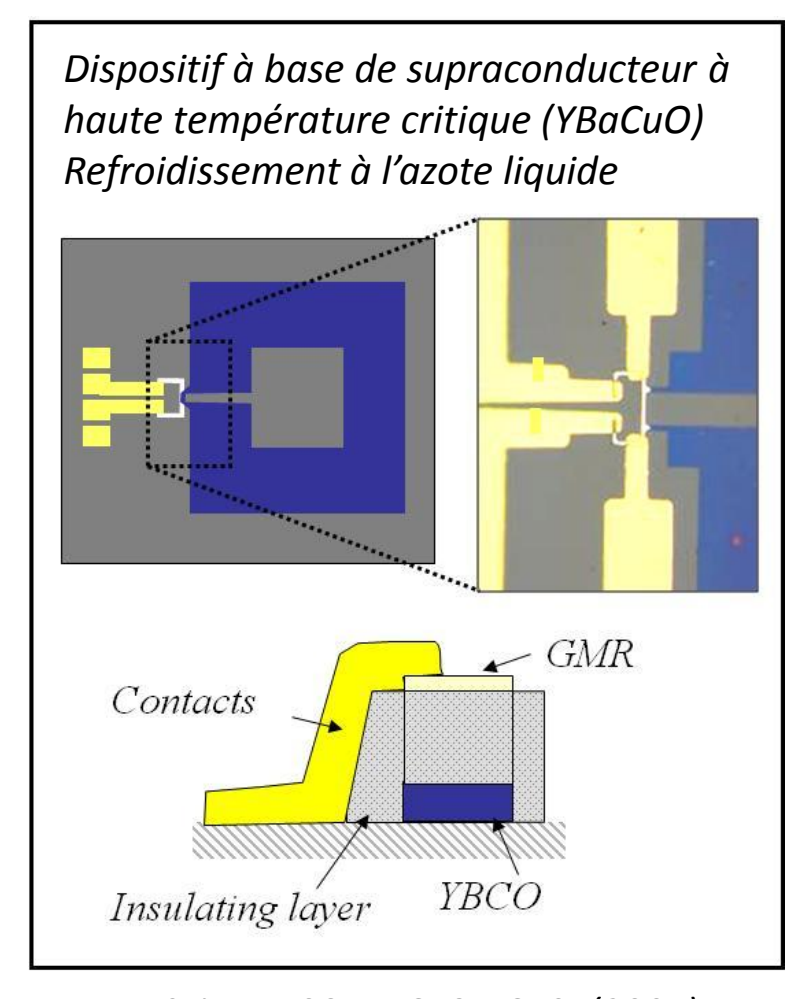








Gain supérieur à 1000



Science **304**, 1648-1650 (2004)



Capteurs mixtes: principe



Partant d'une détectivité de 20pT/vHz, on combine :

- L' amplification du signal par un facteur 1000
 20fT/VHz
- L'augmentation de la sensibilité de la GMR par un facteur 2 10fT/vHz
- La réduction du bruit par un facteur 10 avec la température

 \Rightarrow 1fT/VHz



Détectivité d'un capteur mixte



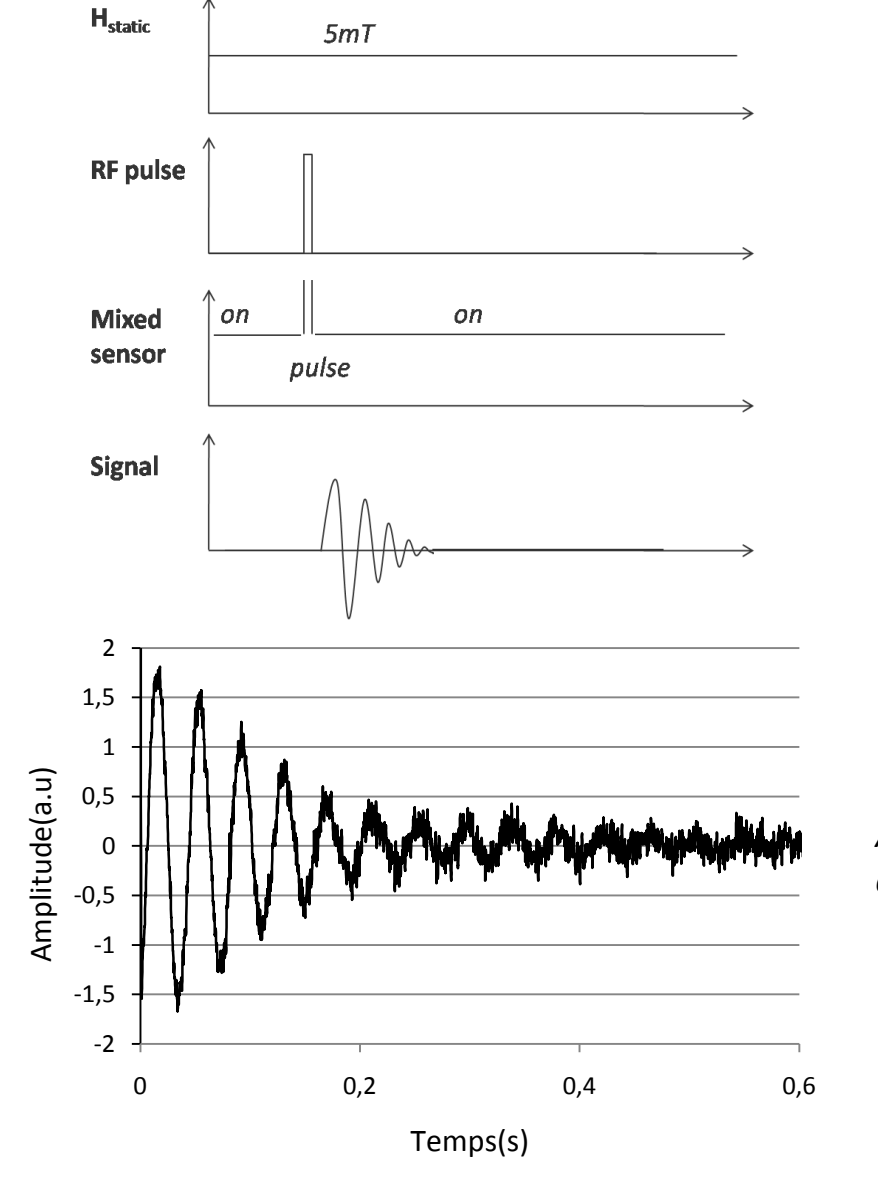
| Capteur | Gain mesuré | Surface Courant (mm²) maximal | | Détectivité* à 77K (fT/√Hz) | Détectivité* à 4K (fT/vHz) | |
|---------|-------------|-------------------------------|------|-----------------------------------|----------------------------------|--|
| Nb | 108 | 7x7 | 1mA | n.a. | 600 | |
| Nb | 500 | 15x15 | 1mA | n.a. | 140 | |
| YBCO | 160 | 9x9 | 15mA | 150 | 32 | |
| YBCO | 600 | 17x17 | 10mA | 25 | 5 | |
| YBCO | 1300 | 25x25 | 10mA | 8 | 1.5 | |
| SQUIDS | - | 25x25 | - | 30 (Haut T _c) | 1 (Bas T _c) | |

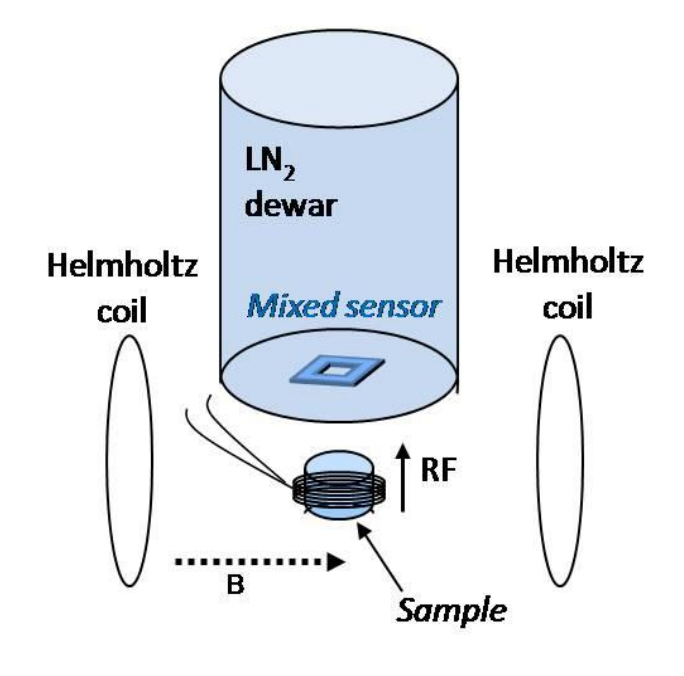
^{*} Dans le bruit thermique



RMN bas champ avec un capteur mixte







Acquisition simple à 314kHz (7.5mT) avec un capteur YBCO (77K) non accordé



Système prototype



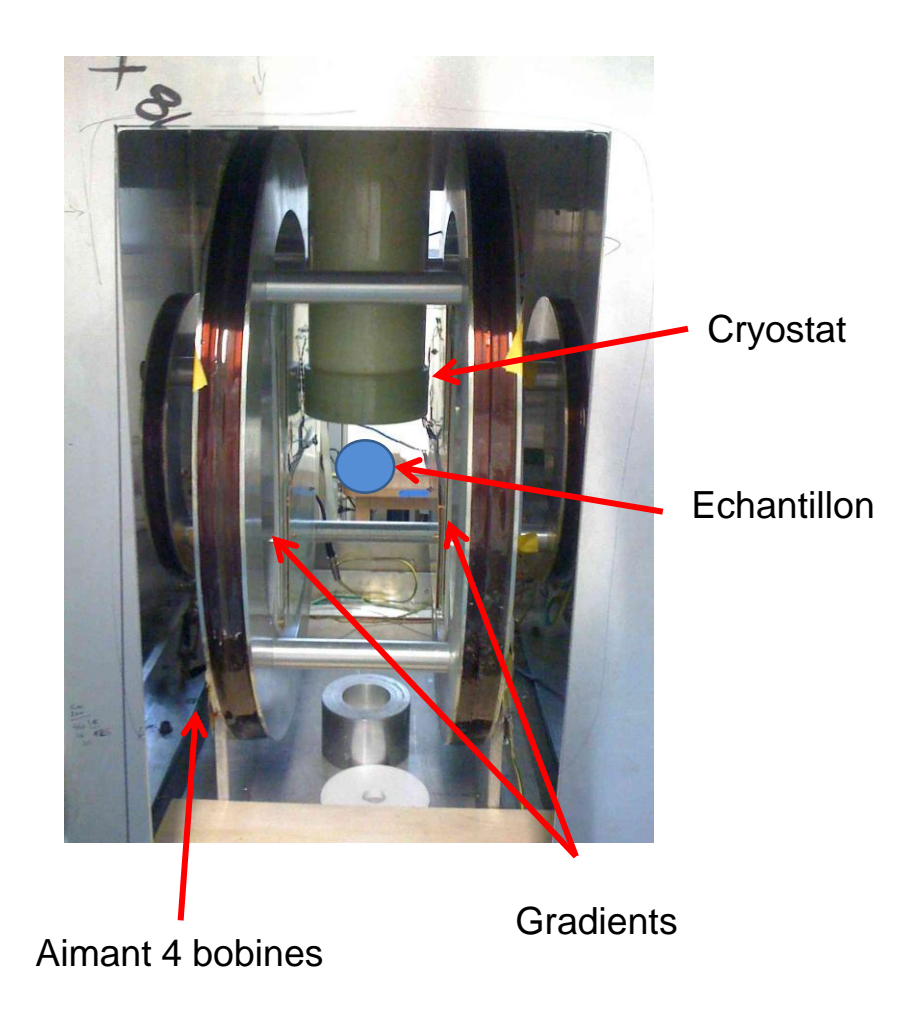
Homogénéité 10ppm

Correction de gradients statiques

Gradients pour l'IRM

Champ maximal 10mT

Excitation et détection non accordées



Thèse Hadrien Dyvorne



Premières images à 7.5mT



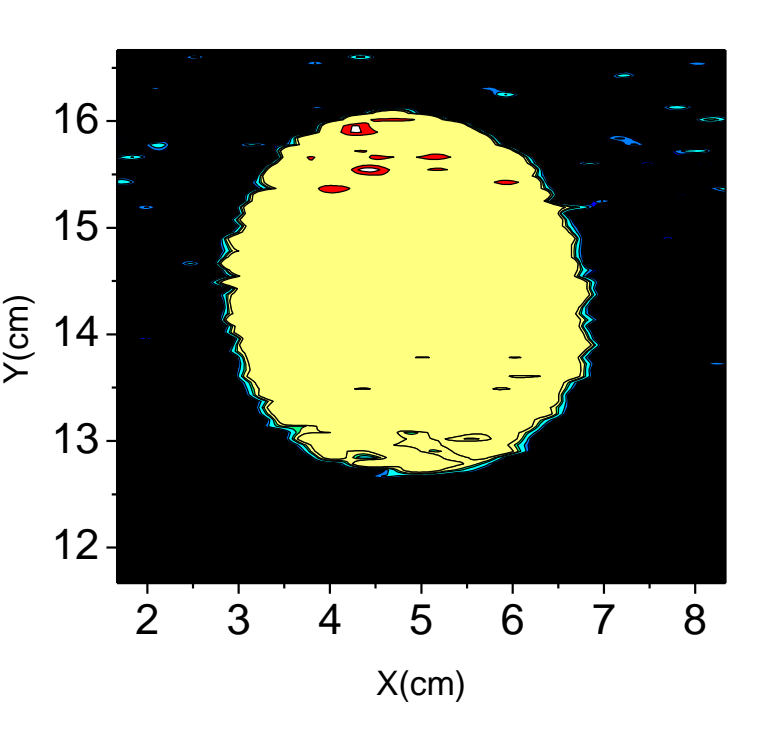
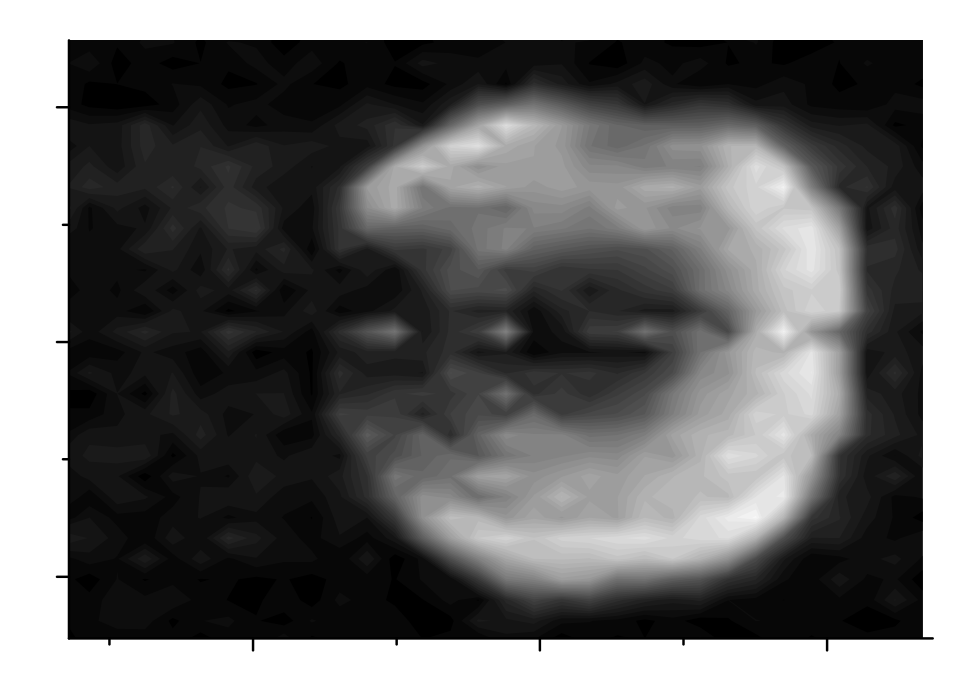


Image d'un tube d'eau ϕ = 30mm



IRM 3D d'une pêche, Résolution = mm³ Temps d'acquisition total (3D) = 12 mn

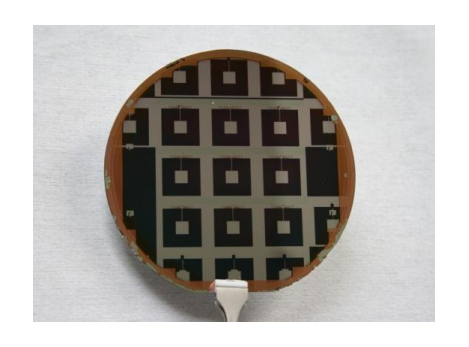


Plan



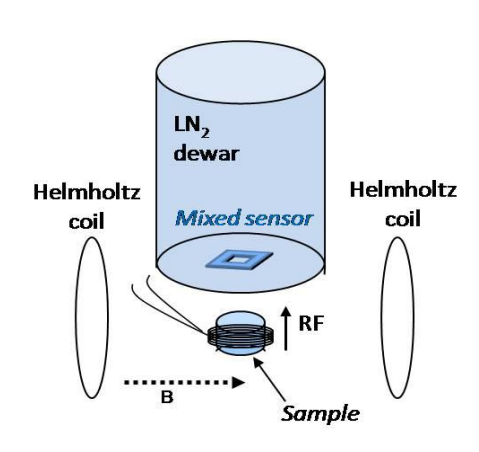
L'IRM à bas champ

Les capteurs pour l'IRM bas champ



Les contrastes

Perspectives





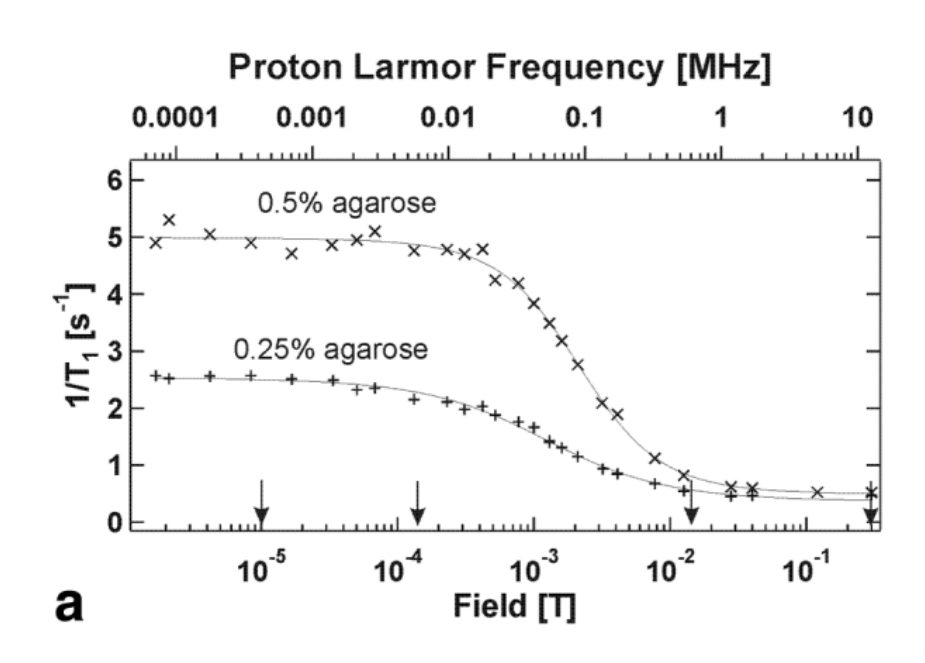
Contrastes en IRM bas champ

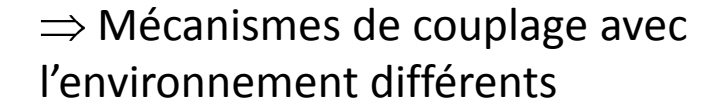


0.25%

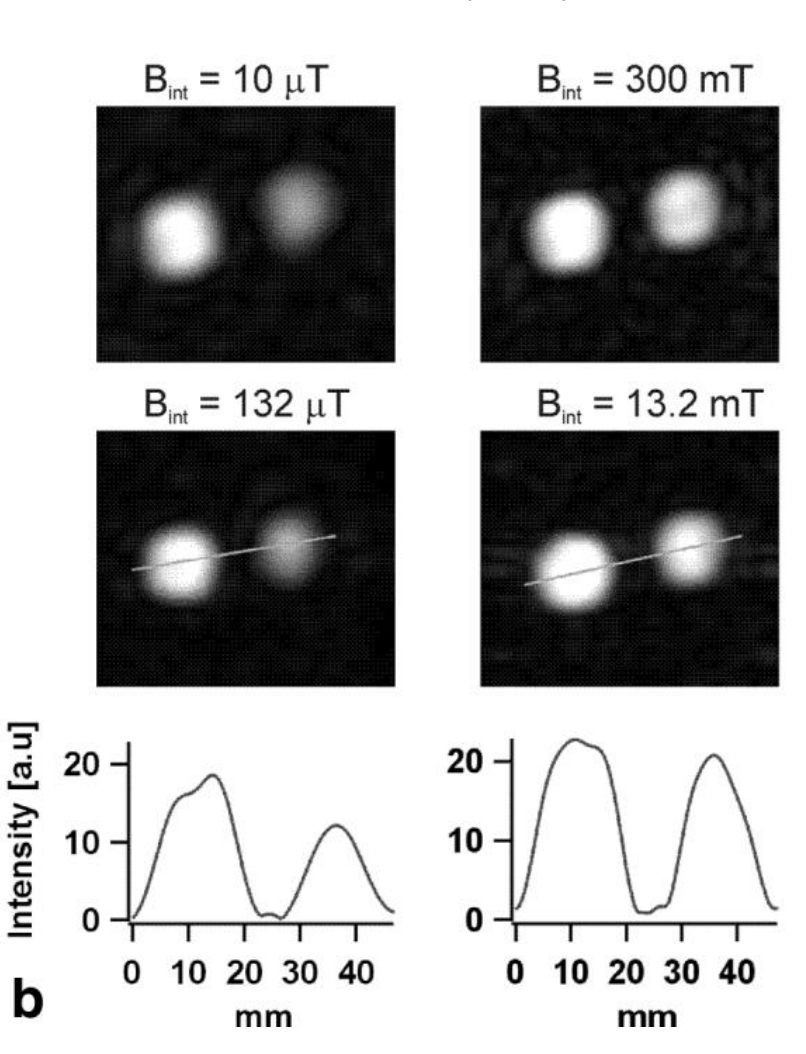
agarose

S. K. Lee et al, Magnetic Resonance in Medicine 53:9–14 (2005)





⇒ Nouveaux contrastes



Exemple d'application:

mesure des T1 dans des cellules prostatiques cancéreuses

Mesures ex-vivo (Berkeley)

| Case # | % tumor | T ₁ (ms) | δ | Case # | % tumor | T ₁ (ms) | δ | Case # | % tumor | T ₁ (ms) | δ |
|-----------|------------|---------------------|--------|-----------|------------|---------------------|-------|-----------|------------|---------------------|-------|
| 1 A | 2 | 85 ± 6 | 0.22 | 7 A | 0 | 69 ± 8 | 0.36 | 13 A | 0 | 56 ± 10 | 0.054 |
| 1 B | 70 | 66 ± 6 | | 7 B | 20 | 44 ± 5 | | 13 B | 10 | 53 ± 1 | |
| 2 A | 2 | 62 ± 9 | 0.081 | 8 A | 0 | 78 ± 4 | 0.31 | 14 A | 10 | 47 ± 4 | -0.34 |
| 2 B | 20 | 57 ± 2 | | 8 B | 20 | 70 ± 6 | 0.23 | 14 B | 40 | 63 ± 3 | |
| 3 A | 20 | 81 ± 6 | 0.36 | 8 C | 90 | 54 ± 4 | | 15 A | 30 | 44 ± 3 | 0.068 |
| 3 B | 80 | 52 ± 3 | | 9 A | 0 | 47 ± 7 | 0.21 | 15 B | 60 | 41 ± 6 | |
| 4 A | 0 | 54 ± 6 | 0.056 | 9 B | 50 | 37 ± 3 | | 16 A | 25 | 62 ± 4 | 0.097 |
| 4 B | 20 | 51 ± 4 | | 10 A | 0 | 56 ± 7 | 0.090 | 16 B | 50 | 56 ± 8 | |
| 5 A | 5 | 67 ± 4 | -0.015 | 10 B | 0 | 51 ± 4 | | 17 A | 0 | 47 ± 3 | -0.19 |
| 5 B | 20 | 68 ± 4 | | 11 A | 0 | 53 ± 4 | 0.17 | 17 B | 30 | 56 ± 1 | |
| 6 A | 0 | 62 ± 7 | 0.24 | 11 B | 50 | 44 ± 4 | | 18 A | 0 | 57 ± 5 | 0.21 |
| 6 B | 40 | 47 ± 4 | | 12 A | 5 | 75 ± 3 | 0.040 | 18 B | 50 | 45 ± 2 | |
| | | | | 12 B | 5 | 72 ± 9 | | | | | |



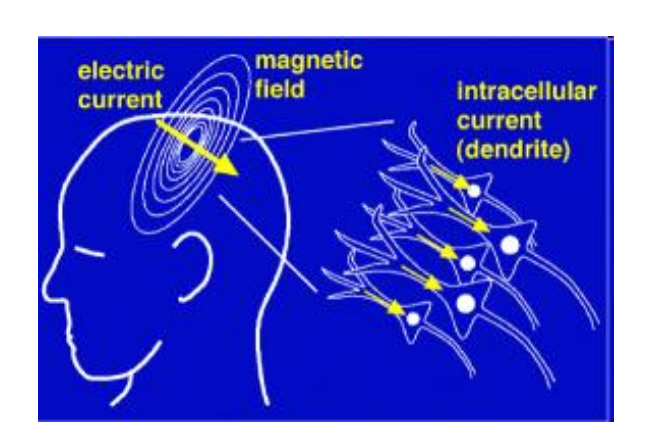
IRM fonctionnelle à bas champ?

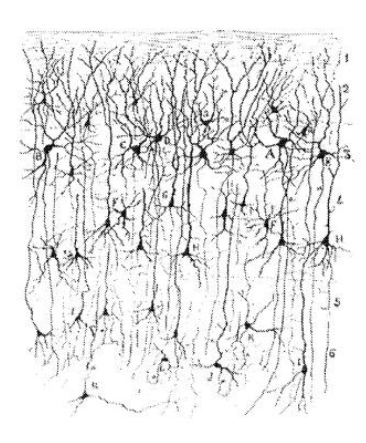


 f-MRI haut champ : détection indirecte de l'activité cérébrale à travers le changement de flux sanguin durant l'activation (réponse hémodynamique)

A bas champ :

- Nouveaux mécanismes de couplage entre les spins et les neurones acrifs
- Mesure directe des courants neuronaux (Direct Neuron Imaging)
- Le champ magnétique généré par les courants neuronaux agit sur le fréquence de précession (très petit shift en fréquence attendu mesurable uniquement à extrêmement bas champ*)





^{*} R.H.Kraus et al, Neurolmage 39 (2008) 310–317



Conclusions-Perspectives



Le développement de capteurs de flux extrêmement sensibles a permis d'offrir des solutions adaptées à la RMN et à l'IRM (très) bas champ

Des systèmes sont actuellement testés basés sur les SQUIDs et les capteurs mixtes

Des images offrant une résolution inférieure au mm3 dans des champs <10mT (sans prépolarisation)

La combinaison de ce type d'imagerie avec des mesures biomagnétiques permettront d'obtenir sur une même plateforme des informations anatomiques et fonctionnelles directes

Il reste à développer et adapter des techniques d'acquisition d'images (multi-antennes, multi-slicing, etc...) pour améliorer les qualités d'images à très bas champ.



Remerciements



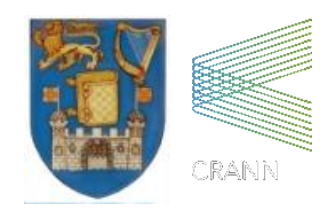
SPEC Groupe Nano-Magnétisme

Claude Fermon

Jacques-François Jacquinot
Gérald Le Goff
Grégory Cannies
Rubén Guerrero
Natalia Sergeeva-Chollet
Hedwige Polovy
Hadrien Dyvorne
Aurélie Solignac



TRINITY COLLEGE DUBLIN



John Clarke (Berkeley)



Microsystems & Nanotechnologies





